

京都大学工学部 正員 大坪 国順
 京都大学工学部 正員 中川 博次

1. まえがき 近年、海洋に大型構造物を建設せしむるこゝが増えつゝ、潮流の激しい所では、下部工の局所洗掘の欠乏は問題となる。局所洗掘の防止や軽減に捨石工が有効であることが認められてゐる。潮流が大よ水深の大よは海洋に捨石工を施工する際、確実性、経済性、見地から、捨石のバラツキは重大な問題である。本研究は捨石の潮流中での拡散特性に関する基礎資料を得るべく、種々の実験条件のもとでの捨石の分布特性を実験的に明らかにし、その結果について、若干の理論的考察を加へたものである。

2. 実験条件および方法 実験に用いた粒子はビーズ(直径5mm,比重2.4)と砂粒(直径4.5mm,比重2.61)の2種類である。投下方法はピセットとバケツとの2方法である。実験条件を表-1に示す。こゝでは一度に落下する粒子の個数、Nは試行回数である。Rexは $U_{max} d / \nu$ と計算されるレイノルズ数である。U_{max}は流木の平均流速分布の最大値である。粒子を定量的に水面から投下し、粒子が床面に到達した時の粒子の平均流下距離 \bar{x} 、標準偏差 σ 、尖度 K を求めた。解析の際、x方向は流木の方向、y方向は横断方向でバケツの開閉方向、z方向は鉛直方向とした。また各実験条件において粒子の運動をストロボ撮影し、その軌跡から粒子のx, z方向の速度を求めた。

3. 実験結果と考察 (1) 粒子の終末沈降速度 静水中の終末速度は、単一の場合、ビーズが49.7cm/s, 砂粒が2.64cm/sである。終末沈降速度を与え式から抗力係数を逆算するとビーズで0.38, 砂粒で0.89となる。砂粒の場合、球とみなした時の見かけのC_Dである。 $U_0 d / \nu$ と計算したレイノルズ数は、ビーズで2480, 砂粒で1470である。複数個落下の場合、U₀は単一の場合に比してビーズで2%, 砂粒で3%減少した。また、流水中のU₀は流木の平均流速に比し、ビーズで10%, 砂粒で4%減少した。2の場合C_Dを逆算すると、ビーズで0.45, 砂粒で0.95となる。C_D/C_{D0}はビーズで1.18, 砂粒で1.06となる。粒子の終末沈降速度を比べると、この場合でも水面下数cmをこゝすである。

(2) 粒子の平均流下距離特性 粒子の平均流下距離 \bar{x} は、落下個数n, 落下方法等に関らず、流木の平均流速U₀が一定であれば、同一の値になることが認められた。 \bar{x}/d (d:粒径)と U_0/W_0 の関係を図-1に示す。 \bar{x}/d は粒子の種類に関係なく、 U_0/W_0 と直線関係にあることがわかった。図-2の \bar{x}/d と $U_0 H/W_0 d$ の関係を表わしたものである。今回の実験範囲内では、 \bar{x} は $U_0 H/W_0$ と10%の誤差範囲内一致が認められた。次に流水中に降下する粒子の抗力係数C_Dが明らかにされる。流水中に運動する粒子の運動方程式をベクトルで表すと、

$$(M+m) \frac{d^2 \mathbf{r}}{dt^2} = -\frac{1}{2} \rho A_2 d^2 C_D |U_0 - U(z)| (U_0 - U(z)) \mathbf{i} + (M-m)g \mathbf{k} \quad (1)$$

こゝで、M: 粒子の質量、m: 粒子と同体積の流体の質量、C_D: 抗力係数、(M+m): 仮想質量、 ρ : 流体の密度、A₂: 面積に関する形状係数、C_D: 断面流下場の粒子の抗力係数、U(z): 水面からzの位置での流木の平均流速

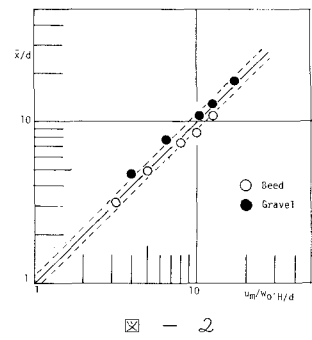
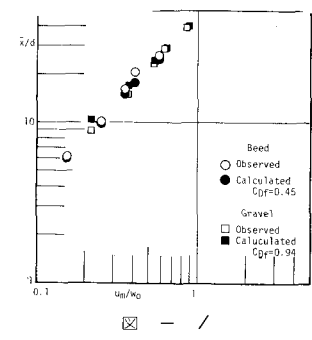
表 - 1

Damped by Pincette

u _m (cm/s)	H (cm)	n	N	R _{ex}
0.0	20.0	1	200	
7.86				436
12.53				716
17.86				1019
20.65				1180
28.51				1630

Damped by Bucket

u _m (cm/s)	H (cm)	n	N	R _{ex}
0.0	20.0	1	200	
		5	100	
		10	100	
12.53		1	200	716
		5	100	
		10	100	
17.86		1	200	1019
		5	100	
		10	100	
28.51		1	200	1630
		5	100	
		10	100	



g : 重力加速度, U_g : 粒子の速度ベクトル, i : x 方向単位ベクトル, k : y 方向単位ベクトルである。11号粒子を球と見ると、 $C_H=1/2$, $A_2=1/4$ となる。

U_g の x, y 方向成分を U_{gx}, U_{gy} とし、(1)式を成分に分けると、次の2式を得る。

$$(M + C_H m) \frac{dU_{gx}}{dt} = -\frac{1}{8} \rho d^2 C_{Df} \{ (U_{gx} - U(z))^2 + U_{gy}^2 \}^{1/2} \cdot (U_{gx} - U(z)) \quad (2)$$

$$(M + C_H m) \frac{dU_{gy}}{dt} = -\frac{1}{8} \rho d^2 C_{Df} \{ (U_{gx} - U(z))^2 + U_{gy}^2 \}^{1/2} \cdot U_{gy} + (M - m)g \quad (3)$$

流中の平均流速分布を指数分布と仮定すると、

$$U(z) = \frac{8}{7} U_m (z - H/H)^{1/2} \quad (4)$$

より、以上の3式と、粒子の運動学的条件 $d^2y/dt^2 = U_{gy} \dots (5)$,

$d^2z/dt^2 = U_{gz} \dots (6)$ と連立し、初期条件 $t=0$ で $x_g=0, z_g=0, U_{gx}=U_{gz}=0$

の条件下微分方程式を解くと、 $z=H$ にある z_g の粒子の流下距離と与えられる。

C_{Df} の値として、ビーズの場合0.45、砂粒の場合0.95の値を用いて $z_g(H)$ を計算

した結果を図-1に示した。計算値と実験値は5%の誤差範囲内と一致し、

2通りの値が流水中を降下する粒子の抵抗力係数と見られる。ストロボ写真から

求めた C_{Df} と一致する結果となった。

(3). 粒子の分散特性 粒子の床面での分布は、どの実験条件にあっても、

正規分布となつておらずに偏りがある。尖度と前後の値を示した。これ、バラツキの指標

である標準偏差の0.5実験条件、投下方法によって異なる特性を示した。

(i). ビンセットによる投下の場合 ビンセットによる投下実験における $\%d$ と U_m/w_0 の

関係を図-3に示した。ビーズ、砂粒の両者とも $\%d$ は U_m/w_0 の増加とともに増加する傾向が

あるが、砂粒の場合にはその割合が非常に小さい。平均 \bar{x} と U_m/w_0 の関係が図-4に示す。

$\bar{x}/\sigma \propto U_m/w_0$ の関係が認められる。平均 \bar{x} が U_m/w_0 とよく近似されることから、 x の運動を

平均値 $\bar{x}(z)$ が U_m^2/w_0^2 と与えられる poisson process と見ると床面において、 $\bar{x}(H) = U_m^2/w_0^2$

, $\sigma^2 = (U_m^2/w_0^2)^2$ となり、 $\bar{x}/\sigma = (U_m^2/w_0^2)^{1/2}$ の関係が成立するといえる。これ

をばら、図-4からはその関係が認められず、 $x(z)$ は poisson process とは取り

扱えないと思われる。

(ii). バケツによる投下の場合 バケツによる投下実験における $\%d$ と U_m/w_0 の関係

も図-3に示す。バラツキの特性は、ビーズの場合と砂粒の場合とは異なる。

ビーズの場合には方向特性が顕著に現われ、バケツの開閉方向の U_g が大になると、

x, y 方向とも、落下個数が多いほど σ が大きくなり、 U_m/w_0 に対して増加の傾向が認め

られる。一方、砂粒の場合、方向特性はあまり顕著ではなく、落下個数の影響を認め

られない。 U_m/w_0 の影響は x 方向には認められるが、 y 方向には認められない。

単一投下の場合の投下方法による σ の相違は両者の比として図-3に示した。ビーズ

の場合より投下方法の影響を受けるといわれる。図-5は、ストロボ写真の粒子の

軌跡から求めた $\%d$, \bar{x}/σ と z/d の関係である。サンプル数が15個で、明確な

結論は下せないが、ビーズと砂粒とでは異なる傾向を示している。ビーズは $\bar{x}/\sigma > 20$

では $\%d$ はあまり増加せず、 \bar{x}/σ は増加する傾向がある。一方、砂粒の場合には

z/d を通じ $\%d$ は1乗で増加しゆくが、 \bar{x}/σ は $z/d > 22$ 以後一定の値に収まる

傾向が認められる。分布特性と z/d の関係は明らかにする場合はサンプル数を増加させる

必要がある。また、水深、ビーズ径、比重を変えた実験を行ない、データを充実させる必要がある。

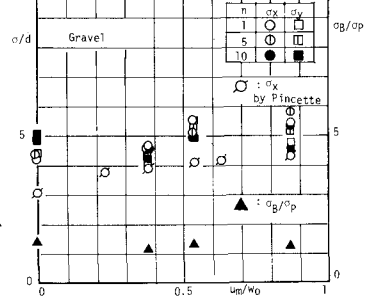
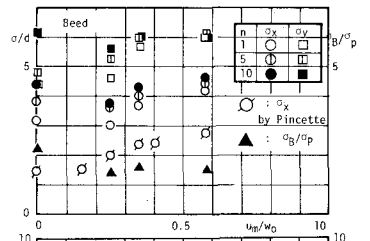


図 - 3

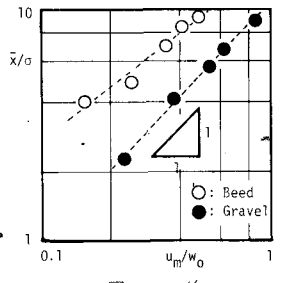


図 - 4

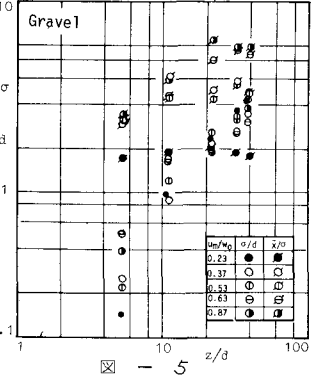
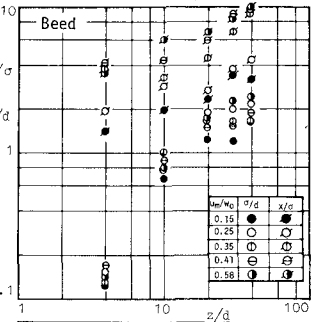


図 - 5